Material *Absorber* Gelombang Elektromagnetik Berbasis $(La_{0.8}Ba_{0.2})(Mn_{(1-x)/2}Zn_xFe_{(1-x)/2})O_3(x = 0 - 0.6)$

Intan Wandira^{(1)*}, Pulung Karo Karo⁽¹⁾, Wisnu Ari Adi

(1) Jurusan Fisika FMIPA Universitas Lampung, Bandar Lampung 35145 (2) Badan Tenaga Nuklir Nasional Jakarta 12710 *E-mail koresponden: intanwandira7@gmail.com,

Diterima (29 Agustus 2017), Direvisi (20 September 2017)

Abstract. Electromagnetic wave absorber materials with $(La_{0.8}Ba_{0.2})(Mn_{(1-x)/2}Zn_xFe_{(1-x)/2})O_3(x=0.0,6)$ had been researched. This magnetic material was synthesized by using solid state reaction method and a suitable composition for the application of a microwave absorber material had been obtained, namely $(La_{0.8}Ba_{0.2})(Mn_{0.4}Zn_{0.2}Fe_{0.4})O_3$ (x=0,2). Precursors use were La_2O_3 , $BaCO_3$, ZnO, Fe_2O_3 , dan $MnCO_3$. The mixture was mixed with High Energy Milling for 5 hours then sintered at $1000 \, ^{\circ}$ C for 5 hours. The result of refinement of X-ray diffraction pattern shows that $(La_{0.8}Ba_{0.2})(Mn_{0.4}Zn_{0.2}Fe_{0.4})O_3$ material had a single phase and a trigonal structure. The surface morphology of the sample had a uniform spherical shape. The results of absorbance analysis of samples to electromagnetic waves in the range of 8-12 GHz was 96%. Thus, the $(La_{0.8}Ba_{0.2})(Mn_{0.4}Zn_{0.2}Fe_{0.4})O_3$ (x=0,2) material was a potential candidate for applications of electromagnetic wave absorber material.

Keyword: absorber, phase, perovskite $(La_{0.8}Ba_{0.2})(Mn_{(1-x)/2}Zn_xFe_{(1-x)/2})O_3$, solid state reaction.

Abstrak.Telah dilakukan penelitian mengenai material *absorber* gelombang elektromagnetik berbasis $(La_{0.8}Ba_{0.2})(Mn_{(1-x)/2}Zn_xFe_{(1-x)/2})O_3(x=0-0,6)$. Material magnetik ini disintesis menggunakan metode reaksi padatan dan telah diperoleh komposisi yang sesuai untuk aplikasi penyerap gelombang elektromagnetikyaitu $(La_{0.8}Ba_{0.2})(Mn_{0.4}Zn_{0.2}Fe_{0.4})O_3(x=0,2)$. Material penyerap ini dibuat dari oksida penyusun La_2O_3 , $BaCO_3$, ZnO, Fe_2O_3 , dan $MnCO_3$. Campuran dimilling dengan $High\ Energy\ Milling$ selama 5 jam kemudian disintering pada suhu $1000^{\circ}C$ selama 5 jam. Hasil refinement pola difraksi sinar-X menunjukkan bahwa sampel $(La_{0.8}Ba_{0.2})(Mn_{0.4}Zn_{0.2}Fe_{0.4})O_3(x=0,2)$ memiliki fasa tunggal $(single\ fase)$ dan memiliki struktur trigonal. Morfologi permukaan pada sampelmemiliki bentukbulat seragam. Hasil analisis serapan sampel terhadap gelombang elektromagnetik pada rentang 8-12 GHz sebesar 96%. Dengan demikian bahwa material $(La_{0.8}Ba_{0.2})(Mn_{0.4}Zn_{0.2}Fe_{0.4})O_3$ (x=0,2) merupakan kandidat yang potensial untuk aplikasi material penyerap gelombang elektromagnetik.

Kata kunci : Fasa, penyerapan, perovskite $(La_{0.8}Ba_{0.2})(Mn_{(1-x)/2}Zn_xFe_{(1-x)/2})O_3$, reaksi padatan.

PENDAHULUAN

Beberapa tahun ini, aplikasi yang menggunakan teknologi gelombang elektromagnetik berkembang pesat. Salah satunya pada teknologi telekomunikasi. Bertambah banyaknya penyedia layanan telekomunikasi membuat semakin padat lalu lintas pancaran gelombang elektromagnetik pada atmosfir bumi. Hal ini berdampak buruk pada alat elektronik lain yang menggunakan teknologi yang

sama, mulai dari noise (gangguan) hingga error (tidak berfungsinya suatu alat) [1]. Selain itu diyakini pula bahwa radiasi gelombang mikro yang berasal dari sinyal telepon selular dapat memicu terjadinya sel kanker. Oleh karena itu, dibutuhkan material penyerap gelombang elektromagnetik yang berfungsi sebagai filter dari banyaknya radiasi gelombang yang merugikan. Sementara, pada aplikasi militer, bahan penyerap gelombang yang digunakan untuk menghindari deteksi

seperti pesawat, kapal, atau tank membutuhkan bahan penyerap super tipis yang memiliki penyerapan luar biasa [2].

Syarat wajib yang harus dipenuhi sebagai bahan penyerap gelombang elektromagnetik yang memiliki komponen medan magnet dan medan listrik yaitu material harus memiliki sifat permeabilitas yang tinggi (magnetic loss propertise) dan permitivitas yang tinggi (dielectric loss propertise) [3]. Di alam, bahan yang memiliki kedua sifat tersebut tidak tersedia.

Namun, ada beberapa material yang memiliki salah satu dari sifat tersebut seperti, material yang memiliki sifat permeabilitas yang tinggi tetapi permitivitas rendah yaitu terdapat pada material Barium Heksaferit (BaFe₁₂O₁₉) [4]. Material yang memiliki sifat permitivitas tinggi tetapi sifat permeabilitas rendah yaitu terdapat pada material *perovskite* [5]. Material yang akan menjadi fokus peneliti dalam penelitian ini adalah material magnet berbasis manganit sistem *perovskite* ABO₃.

Salah satu material perovskite ABO₃ berbasis manganit adalah Lantanum manganit (LaMnO₃). Material ini memiliki sifat permitivitas tinggi, struktur stabil, tahan korosi, dan sifat permeabilitas yang rendah. Lantanum manganit dapat dijadikan sebagai bahan unggul untuk aplikasi absorber gelombang elektromagnetik karena memiliki sifat permitivitas yang tinggi dengan nilai magnetic loss yang dimiliki relatif kecil.

Sebagaimana telah disebutkan bahwa syarat yang harus dipenuhi untuk aplikasi penyerap gelombang elektromagnetik adalah material ini harus memiliki nilai koersitivitas yang rendah dengan saturasi magnet yang tinggi atau harus meningkatkan sifat permeabilitas material ini, sehingga spin magnetik dari material ini dapat beresonansi dengan gelombang elektromagnetik. Untuk itu diperlukan modifikasi atau rekayasa struktur.

Memodifikasi Lantanum manganit telah banyak dilakukan dengan mensubstitusi elemen tertentu dalam ionion Lantanum. Dengan melakukan prinsip ini, maka terjadi adanya valensi campuran atom Mn yang mana akan mempengaruhi sifat magnetik dan struktur bahan. Sifat magnetik ini merupakan salah indikator kemampuan penyerapan material terhadap gelombang elektromagnetik.

Penelitian sebelumnya oleh Zhou [6] berhasil membuat material absorber elektromagnetik gelombang berbasis manganit. Mereka melakukan modifikasi material sistem (LaSr)MnO₃ substitusi ion Fe³⁺, yaitu senyawa empiris $La_{0.8}Sr_{0.2}Mn_{1-v}Fe_vO_3$ (0 < v < 0.2). Penambahan Fe (y = 0.14), meningkatkan nilai reflection loss bahan hingga -34 dB dengan persentase penyerapan sebesar 98%. Menurut Zhou kehadiran Fe sangat berkontribusi terhadap magnetik sifat Sardjono dan Adi bahan. [5] juga melakukan penelitian menggunakan material magnetik sistem La₁ _xBa_xMnO₃.Rekayasa struktur ini ternyata membuahkan hasil yang luar biasa. Hasil pengujian serapan gelombang elektromagnetik pada rentang frekuensi 9-GHz menunjukkan terdapat frekuensi puncak serapan pada frekuensi 11,1 dan 14,2 GHz dengan nilai reflection loss berturut-turut sebesar -4,8 dB dan -6,8 dBdan persentase penyerapan optimal sebesar 55%. Pada penelitian ini akan dilakukan substitusi ion Fe3+ dan ion Zn2+ terhadap Mn dengan variasi konsentrasi x = berdasarkan rumus 0-0.6molekul $(La_0 8Ba_0 2)(Mn_{(1-x)/2}Zn_xFe_{(1-x)/2})O_3$.

Penelitian ini dilakukan dengan tujuan untuk menghasilkan material penyerap gelombang elektromagnetik yang dapat mengurangi energi radiasi elektromagnetik.

METODE PENELITIAN

Material magnetik berbasis $(La_{0.8}Ba_{0.2})(Mn_{(1-x)/2}Zn_xFe_{(1-x)/2})O_3$ dengan substitusi ion Fe^{3+} dan ion Zn^{2+} disintesis menggunakan metode reaksi padatan dengan oksida-oksida penyusun adalah La_2O_3 , $BaCO_3$, ZnO, Fe_2O_3 , dan $MnCO_3$, dari produk Merck dengan kemurnian 99.9%. Pencampuran bahan-bahan dasar tersebut dilakukan dengan jumlah massanya digunakan prinsip stoichiometri.

Variasi penambahan substitusi ion Fe³⁺dan ion Zn²⁺terhadap Mangan adalah x = 0, 0,1, 0,2, 0,3, 0,4, 0,5, dan 0,6. Ketujuh dasar tersebut bahan dicampur menggunakan alat High Energy Milling (HEM) dengan spesifikasi normal speed = 90 menit, of time = 30 menit dan on of cycle 1 kali. Dimensi vial panjang 7,6 cm dan diameter 5,1 cm. Di dalam vial ini terdapat bola-bola besi yang disebut ball-mill. Ballmill bergerak dan berfungsi menghancurkan bahan. Ball-mill terbuat dari bahan stainless steel dengan diameter sebesar 10 mm. Campuran ini ditambahkan etanol dan di-milling selama 5 jam pada suhu ruang. Setelah itu, sampel dibuat dalam bentuk serbuk, kemudian sampel disintering pada suhu 1000°C selama 5 jam dan didinginkan dalam lingkungan furnace. Sampel digerus dan dilakukan karakterisasi.

Beberapa karakterisasi pada sampel dilakukan untuk mengetahui karakteristik yang diperlukan sesuai dengan tujuan pada penelitian ini.Karakterisasi awal adalah identifikasi fasa dari masing-masing sampel menggunakan peralatan **XRD** (Difraktometer Sinar-X) merek PANalytical. Analisis fasa baik secara kualitiatif dan kuantitatif digunakan metode (program GSAS) Rietveld dengan parameter kesesuaian refinement adalah Rwp dan Chi squared [8]. Pengujian morfologi dan komposisi unsur sampel diamati dengan Scanning Electron Microscope-Energy Dispersive

Spectroscopy (SEM-EDS) JEOL JSM-6510LA.Sedangkan, pengujian serapan gelombang elektromagnetik menggunakan Vector Network Analyzer (VNA).

HASIL DAN PEMBAHASAN

Analisis Fasa Material

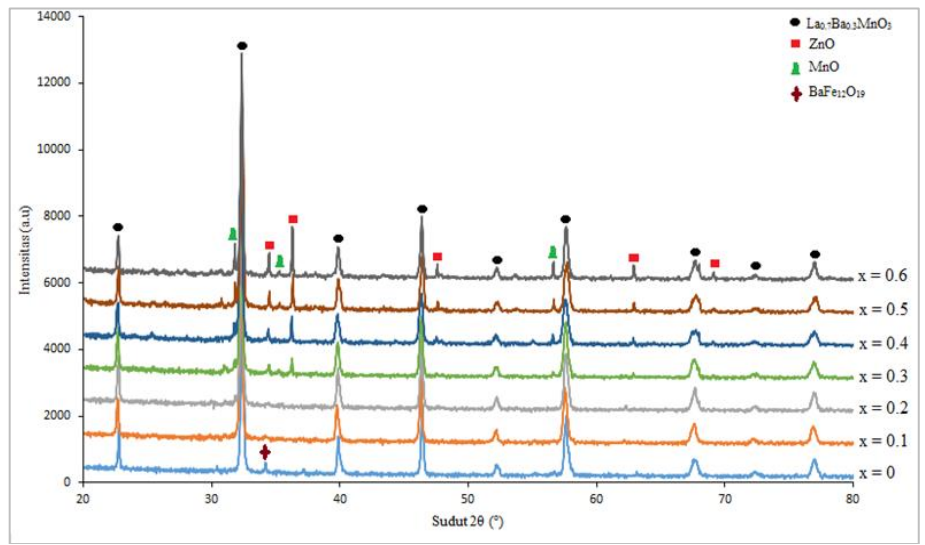
Analisis fasa material dengan variasi konsentrasi ditentukan dengan melihat pola difraksi sinar-X dari masing-masing sampel berdasarkan pencocokan data hasil pengukuran difraksi dengan data difraksi sinar-X yang terdapat pada *Crystallography Of Database* (COD). Pola difraksi sinar-X material sistem (La_{0.8}Ba_{0.2})(Mn_{(1-x)/2}Zn_xFe_{(1-x)/2})O₃ dengan masing-masing nilai x ditunjukkan pada **Gambar 1**.

Pola difraksi pada Gambar 1 menunjukkan bahwa terdapat fasa yang berbeda-beda di dalam material sistem $(La_{0.8}Ba_{0.2})(Mn_{(1-x)/2}Zn_xFe_{(1-x)/2})O_3.$ Dari hasil identifikasi puncak-puncak difraksi sinar-X menunjukkan bahwa sampel diduga memiliki fasa tunggal pada konsentrasi x = 0.1 dan x = 0.2. Hal ini dibuktikan dengan adanya kesesuaian antara puncak-puncak difraksi sinar-X sampel dengan pola difraksi fasa La_{0.7}Ba_{0.3}MnO₃ standar sesuai dengan COD No. 96-400-2491. Sampel pada saat konsentrasi x = 0 belum membentuk fasa tunggal. Hal ini sampel disebabkan karena belum tersubstitusi oleh ion Zn²⁺ namun telah tersubstitusi ion Fe³⁺.Fasa asing yang muncul yaitu fasa BaFe₁₂O₁₉ standar sesuai dengan COD No. 96-100-8327. Namun, dengan meningkatnya kandungan ion Fe³⁺ dan ion Zn^{2+} konsentrasi x = 0.3-0.6 tampak ditemukan puncak-puncak asing. Puncak asing tersebut merupakan fasa MnO standar sesuai dengan COD No. 96-411-7967 dan ZnO standar sesuai dengan COD No. 96-230-0116. Berdasarkan analisis dengan program Match!3 dan pola difraksi pada Gambar 1 maka dapat disimpulkan bahwa didapatkan nilai x optimum pada material sistem (La_{0.8}Ba_{0.2})(Mn_{(1-x)/2}Zn_xFe_{(1-x)/2})O₃ adalah x = 0,2.

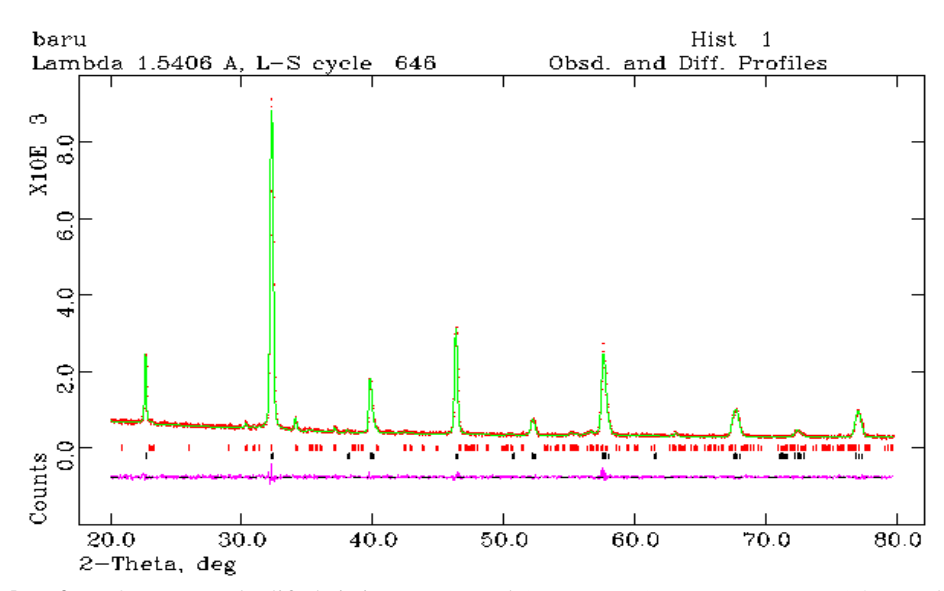
Material sistem (La_{0.8}Ba_{0.2})(Mn_{(1-x)/2}Zn_xFe_{(1-x)/2})O₃ yang akan dikarakterisasi selanjutnya hanya dipilih 4 sampel, yaitu konsentrasi x sebelum dilakukannya pensubstitusian ion Zn^{2+} yaitu x=0, konsentrasi x yang optimum yaitu x=0,2, konsentrasi x di atas optimum yaitu x=0,3,

dan konsentrasi x yang paling ekstrim yaitu x = 0.6.

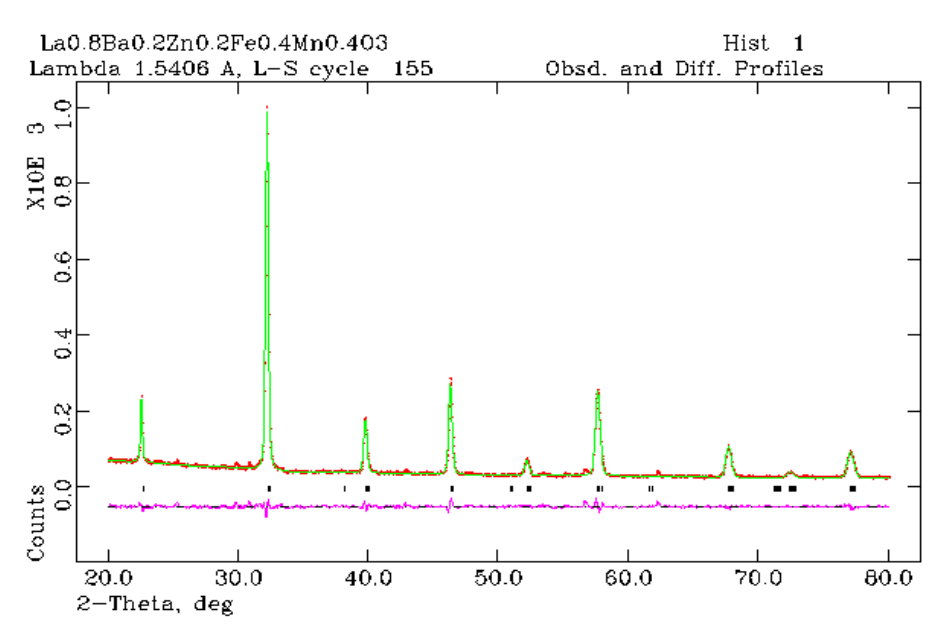
Material sistem $(La_{0.8}Ba_{0.2})(Mn_{(1-x)/2}Zn_xFe_{(1-x)/2})O_3$ dengan konsentrasi x=0, 0,2, 0,3, dan 0,6 kemudian dilakukan proses penghalusan atau *refinement* dengan menggunakan *softwareGeneral Structure Analysis System*(GSAS) yang mana bertujuan untuk melihat seberapa besar pengaruh substitusi ion Fe³⁺ dan ion Zn²⁺ terhadap struktur utamanya.



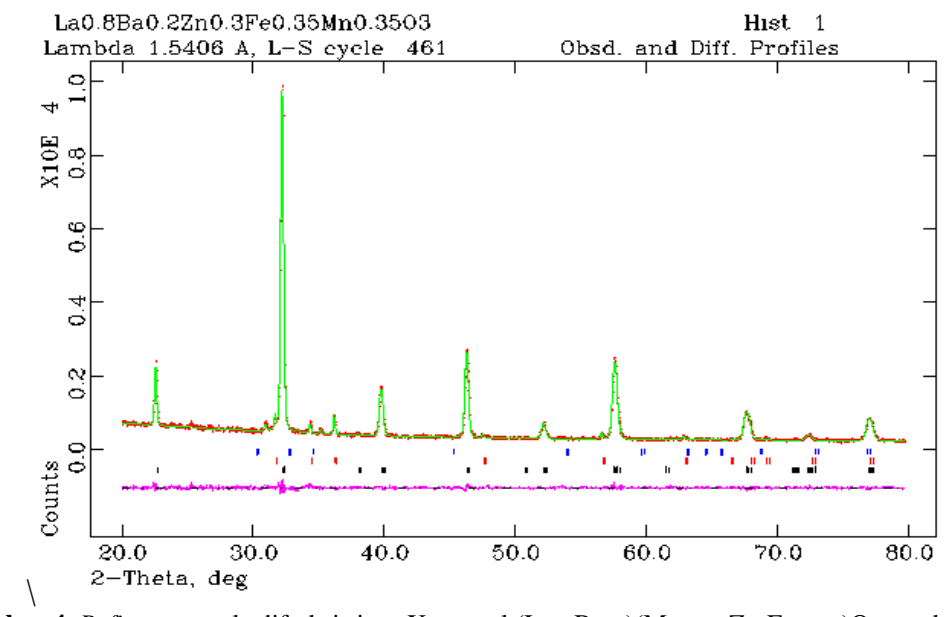
Gambar 1. Pola Difraksi Sinar-X Sampel Gabungan Material sistem $(La_{0.8}Ba_{0.2})(Mn_{(1-x)/2}Zn_xFe_{(1-x)/2})O_3$ dengan x = 0, 0, 1, 0, 2, 0, 3, 0, 4, 0, 5, dan 0, 6.



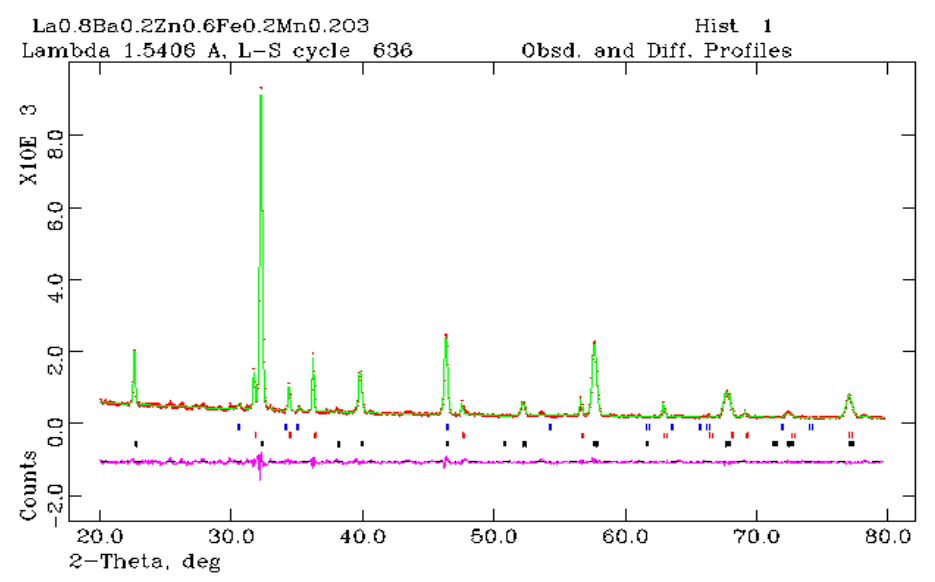
Gambar 2. Refinement pola difraksi sinar-X sampel ($La_{0.8}Ba_{0.2}$)($Mn_{(1-x)/2}Zn_xFe_{(1-x)/2}$)O₃ untuk x=0



Gambar 3. Refinement pola difraksi sinar-X sampel (La_{0.8}Ba_{0.2})(Mn_{(1-x)/2}Zn_xFe_{(1-x)/2})O₃ untuk x= 0,2



Gambar 4. Refinement pola difraksi sinar-X sampel ($La_{0.8}Ba_{0.2}$)($Mn_{(1-x)/2}Zn_xFe_{(1-x)/2}$)O₃ untuk x= 0,3



Gambar 5. Refinement pola difraksi sinar-X sampel $(La_{0.8}Ba_{0.2})(Mn_{(1-x)/2}Zn_xFe_{(1-x)/2})O_3$ untuk x=0,6

Gambar 2 Merupakan hasil refinement pola difraksi sinar-X sampel $(La_{0.8}Ba_{0.2})Mn_{0.5}Fe_{0.5}O_3$. Dari refinement didapatkan ini bahwa sampel (La_{0.8}Ba_{0.2})Mn_{0.5}Fe_{0.5}O₃terbentuk 2 fasa yaitu fasa La_{0.7}Ba_{0.3}MnO₃ dan BaFe₁₂O₁₉. Fasa La_{0.7}Ba_{0.3}MnO₃ mempunyai fraksi massa 94,08% sedangkan fasa BaFe₁₂O₁₉ (Barium dedecairon III oxide) mempunyai massa 5.92%. Gambar Menunjukkan hasil *refinement* pola difraksi sampel sinar-X $(La_{0.8}Ba_{0.2})$ $(Mn_0 4Zn_0 2Fe_0 4)O_3$. Hasil identifikasi puncak-puncak difraksi sinar-X untuk sampel ini menunjukkan bahwa sampel memiliki fasa tunggal yaitu La_{0.7}Ba_{0.3}MnO. Fasa La_{0.7}Ba_{0.3}MnO memiliki fraksi massa Gambar 4. Merupakan 100%. refinement pola difraksi sinar-X sampel $(La_{0.8}Ba_{0.2})(Mn_{0.35}Zn_{0.3}Fe_{0.35})O_3.$ Dari refinement ini didapatkan bahwa sampel $(La_{0.8}Ba_{0.2})(Mn_{0.35}Zn_{0.3}Fe_{0.35})O_3$ terbentuk 3 fasa yaitu fasa La_{0.7}Ba_{0.3}MnO₃, MnO, dan ZnO. Fasa La_{0.7}Ba_{0.3}MnO₃ mempunyai fraksi massa 89.1%, fasa MnO 7.56% sedangkan fasa ZnO(Zinc oxide)

mempunyai fraksi massa 3,34%. **Gambar 5** merupakan hasil *refinement* difraksi sinar-X sampel pola $(La_{0.8}Ba_{0.2})(Mn_{0.2}Zn_{0.6}Fe_{0.2})O_3.$ Dari refinement ini didapatkan bahwa sampel $(La_{0.8}Ba_{0.2})(Mn_{0.2}Zn_{0.6}Fe_{0.2})O_3$ memiliki fasa yaitu fasa La_{0.7}Ba_{0.3}MnO₃, MnO, dan ZnO. Fasa La_{0.7}Ba_{0.3}MnO₃ mempunyai fraksi massa 80%, fasa MnO 12.2% sedangkan fasa ZnO(Zinc oxide) mempunyai fraksi massa 7,8%. Nilai parameter struktur hasil refinement keseluruhan sampel telah disajikan dalam Tabel 1.

Berdasarkan hasil refinement dari pola difraksi sinar-X di atas, terjadi perubahan nilai parameter kisi seiring dengan Zn²⁺dan meningkatnya kandungan ion penurunan kandungan ion Fe^{3+} pada sampel. Adanya perubahan ini menunjukkan bahwa ion Fe³⁺ dan ion Zn²⁺ berhasil tersubstitusi ke Mangan. Nilai tingkat keberhasilan hasil refinement dan fraksi dari massa keseluruhan sampel ditunjukkan pada Tabel 2.

Tabel 1. Nilai Parameter Struktur Hasil *Refinement* Keseluruhan Sampel.

Nilai x	Fogo	Parameter kisi (Å)			- Volume (ų)	Massa jenis
Milai X	Fasa	a	b	c	- volume (A')	(gr/cm^3)
0	$La_{0.7}Ba_{0.3}MnO_3$	5,543	5,543	13,508	359,512	6,726
0	$BaFe_{12}O_{19}$	5,886	5,886	23,146	694,488	10,752
0,2	$La_{0.7}Ba_{0.3}MnO_3$	5,515	5,515	13,551	356,904	6,745
0,3	$La_{0.7}Ba_{0.3}MnO_3$	5,537	5,537	13,512	358,798	7,164
	MnO	3,399	3,399	5,461	54,644	12,933
	ZnO	3,245	3,245	5,198	47,423	17,390
	$La_{0.7}Ba_{0.3}MnO_3$	5,535	5,535	13,516	358,668	7,164
0,6	MnO	3,382	3,382	5,198	52,014	13,588
	ZnO	3,245	3,245	5,197	47,409	17,396

Tabel 2. Nilai Reabilitas (R) dan Fraksi Massa Hasil Refinement Sampel.

Nilai x	Fasa	wRp (%)	Rp (%)	χ^2	Fraksi Massa (%)
0	$La_{0.7}Ba_{0.3}MnO_3$	4,95	3,88	1,275	94,1
	$BaFe_{12}O_{19}$	4,93	3,00	1,273	5,9
0,2	$La_{0.7}Ba_{0.3}MnO_3$	6,08	4,53	1,179	100
0,3	$La_{0.7}Ba_{0.3}MnO_3$				89,1
	MnO	5,63	4,35	1,533	7,6
	ZnO				3,3
0,6	$La_{0.7}Ba_{0.3}MnO_3$				80
	MnO	7,80	5,92	2,500	12,2
	ZnO				7,8

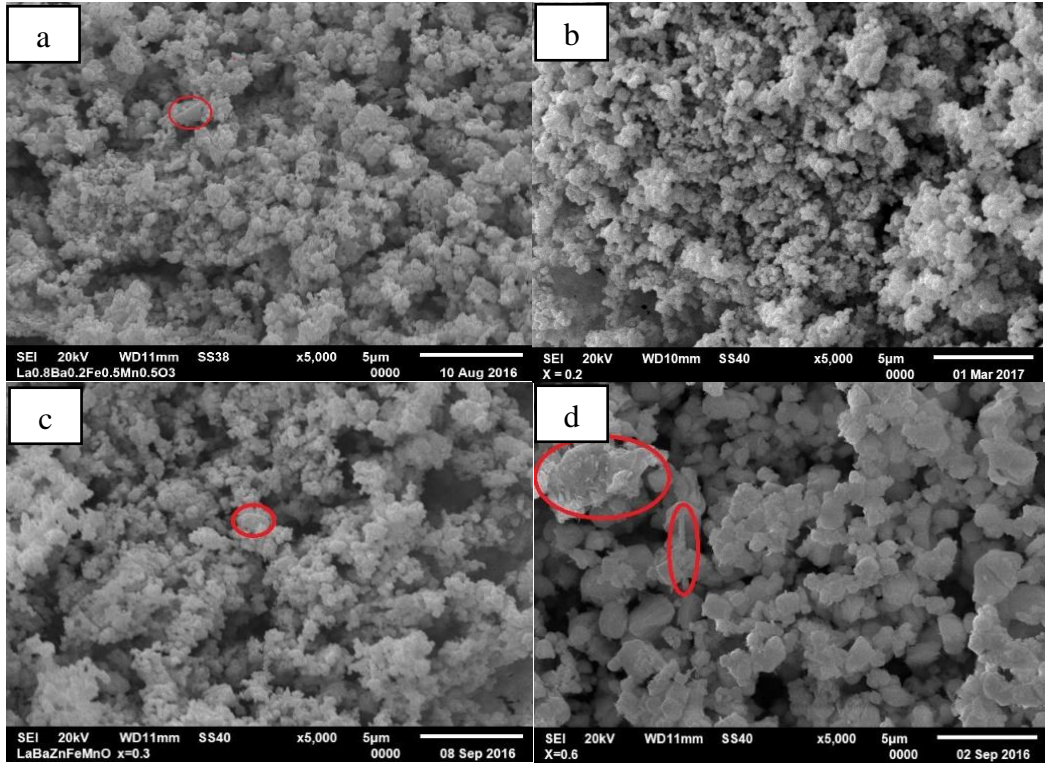
Analisis Morfologi dan Komposisi Unsur

Hasil analisis morfologi permukaan material ($La_{0.8}Ba_{0.2}$)($Mn_{(1-x)/2}Zn_xFe_{(1-x)/2}$)O₃(x = 0, 0,2, 0,3, dan 0,6) disajikan pada **Gambar 6**. Pada **Gambar 6** (a) terlihat morfologi permukaan partikel yang tidak homogen dengan bentuk bulat tersebar di seluruh permukaan material.

Hal ini sesuai dengan hasil analisis fasa menggunakan program *Match!3* dan GSAS bahwa material memiliki fasa lebih dari satu atau terdiri dari dua fasa. Berbeda halnya dengan **Gambar 6** (b) yang terlihat morfologi partikel merata di seluruh permukaan material dengan bentuk partikel bulat seragam. Hal ini bersesuaian dengan hasil analisis fasa menggunakan program *Match!3* dan GSAS yang menunjukan

sampel adalah fasa tunggal. **Gambar 6 (c)** merupakan morfologi permukaan material dengan x = 0.3. Pada gambar ini terlihat morfologi permukaan partikel bulat tidak homogen yang ditunjukkan dengan adanya penggumpalan partikel yang diduga membentuk fasa baru.

Hal yang sama juga ditunjukkan oleh Gambar 6 (d). Morfologi permukaan partikel terlihat tidak homogen dengan bentuk bulat tersebar di seluruh permukaan material. Hal ini sesuai dengan hasil analisis fasa menggunakan program *Match!3* dan GSAS yang menunjukkan sampel memiliki fasa lebih dari satu.Hasil analisis komposisi unsur sampel disajikan pada Tabel 3.



Gambar 6.Morfologi Permukaan Material, (a) x = 0, (b) x = 0.2, (c) x = 0.3, (d) x = 0.6

Tabel 3. Hasil Analisis EDS Sampel x = 0, 0, 2, 0, 3, dan 0, 6.

Nilai x	Unsur	Mass	a (%)	Atom (%)	
		Observasi	Kalkulasi	Observasi	Kalkulasi
0	La	44,90	45,92	17,00	16
	Ba	12,13	11,35	4,64	4
	Fe	15,18	11,54	14,30	10
	Mn	11,72	11,35	11,22	10
	O	16,07	19,84	52,83	60
0,2	La	47,80	45,55	21,08	16
	Ba	11,59	11,25	5,17	4
	Zn	6,27	5,36	5,88	4
	Fe	12,42	9,16	13,62	8
	Mn	10,95	9,01	12,21	8
	O	10,97	19,67	42,03	60
0,3	La	45,95	45,36	20,79	16
	Ba	11,85	11,21	5,43	4
	Zn	12,38	8,01	11,91	6
	Fe	11,06	7,98	12,45	7
	Mn	8,71	7,85	9,96	7
	O	10,05	19,59	39,47	60
0,6	La	37,52	44,81	18,19	16
	Ba	21,65	11,08	10,62	4
	Zn	26,79	15,82	27,61	12
	Fe	2,75	4,50	3,33	4
	Mn	2,44	4,43	2,98	4
	O	8,85	19,36	37,27	60

Tabel 3 menunjukkan bahwa kandungan unsur yang terdapat pada setiap sampel telah sesuai dengan saat preparasi. Besarnya fraksi massa dan fraksi atom yang dihasilkan relatif sama antara observasi dan kalkulasi.Pada komposisi x = 0.3 dan x = 0.6 kandungan unsur Mn terlihat semakin menurun dengan kandungan unsur Fe dan Zn yang semakin meningkat. Hal ini bersesuaian dengan hasil analisis fasa menggunakan XRD bahwa sampel x = 0.3 dan x = 0.6 memiliki 3 fasa.

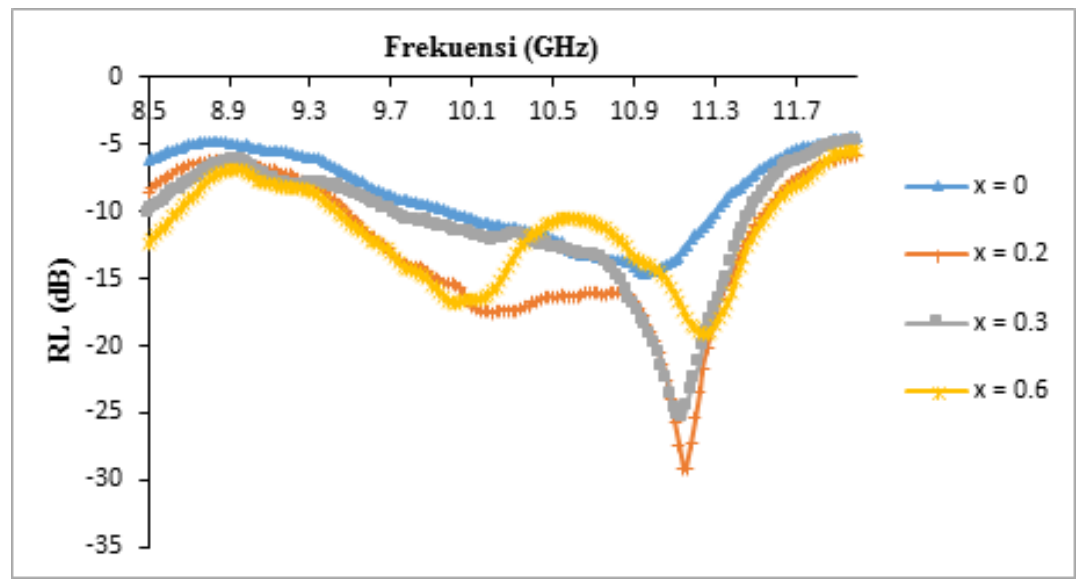
Analisis Besar Serapan Gelombang

Pengaruh substitusi ion Fe^{3+} dan ion Zn^{2+} terhadap pola refleksi sebagai absorber gelombang elektromagnetik perovskite (La_{0.8}Ba_{0.2})(Mn_{(1-x)/2}Zn_xFe_{(1-x)/2})O₃ dapat diketahui dengan melihat hubungan frekuensi terhadap nilai reflection loss pada masing-masing material

yang ditunjukkan dalam grafik pada **Gambar 7**.

Berdasarkan **Gambar 7** terlihat bahwa secara keseluruhan terjadi penurunan nilai refleksi pada frekuensi 10 – 11,5 GHz.Nilai *refelction loss* dari masing-masing material sistem (La_{0.8}Ba_{0.2})(Mn_{(1-x)/2}Zn_xFe_{(1-x)/2})O₃ disajikan dalam **Tabel 4**.

Table 4 menunjukkan bahwa nilai reflection loss berbeda-beda dari range frekuensi 8 – 12 Ghz dengan nilai reflection loss -13,82 dB - (-) 29,21 dB. Dari nilai reflection loss vang berbeda-beda ini akan menghasilkan intensitas penyerapan yang berbeda pula. Nilai reflection loss yang dihasilkan ini kemudian dikonversikan meniadi persen absorpsi. Penyerapan gelombang elektromagnetik yang dimiliki pada material dengan nilai x = 0, 0,2, 0,3,dan 0,6 masing-masing adalah 81, 96, 94 dan 89%.



Gambar 7. Grafik Serapan Gelombang Elektromagnetik Material Sistem (La_{0.8}Ba_{0.2})(Mn_{(1-x)/2}Zn_xFe_{(1-x)/2})O₃

Tabel 4. Serapan Gelombang Elektromagnetik (La_{0.8}Ba_{0.2})(Mn_{(1-x)/2}Zn_xFe_{(1-x)/2})O₃.

Nilai x	Frekuensi (GHz)	Reflection Loss(dB)	Serapan Gelombang(%)
0	10,94	-14,57	81
0,2	11,14	-29,21	96
0,3	11,12	-25,23	94
0,6	11,26	-19,21	89

Material dengan nilai x=0,2 memiliki nilai reflection loss yang paling tinggi sebesar -29,21 dB yaitu dengan persen penyerapan gelombang elektromagnetik mencapai 96% pada frekuensi 11,14 GHz, lebar bandwith antara 9,3 hingga 11,4 GHz. Substitusi ion Fe^{3+} dan ion Zn^{2+} telah berhasil meningkatkan persentase penyerapan terhadap gelombang elektromagnetik.

KESIMPULAN

Berdasarkan hasil penelitian didapatkan kesimpulan bahwadiperoleh komposisi vang sesuai untuk aplikasi penyerap elektromagnetik gelombang yaitu $(La_{0.8}Ba_{0.2})(Mn_{0.4}Zn_{0.2}Fe_{0.4})O_3(x)$ = 0,2).Hasil refinement pola difraksi sinar-X menunjukkan bahwa sampel $(La_{0.8}Ba_{0.2})(Mn_{0.4}Zn_{0.2}Fe_{0.4})O_3(x)$ 0.2)memiliki fasa tunggal (single fase) dan memiliki struktur trigonal dengan besar parameter kisi a = 5,5147 Å, b = 5,5147 Ådan c = 13,5507 Å, $\alpha = \beta = 90^{\circ}$ dan $\gamma =$ 120°, V = 356,904 Å³ dan ρ = 6,745 gr.cm⁻ ³.Material $(La_{0.8}Ba_{0.2})(Mn_{0.4}Zn_{0.2}Fe_{0.4})O_3$ memiliki morfologi permukaan bulat seragam dengan komposisi unsur relatif sama. Kemampuan serapan gelombang elektromagnetik sampel pada rentang frekuensi 8-12 GHz diperoleh sebesar 96% dengan nilai RL sebesar -29,21 dB pada frekuensi 11,14 GHz. Dengan demikian dari hasil penelitian ini dapat dikatakan bahwa konsentrasi x = 0.2 dapat dijadikan kandidat yang potensial untuk diaplikasikan sebagai material penyerap gelombang elektromagnetik.

UCAPAN TERIMAKASIH

Penulis mengucapkan terimakasih kepada Kepala Pusat Sains dan Teknologi Bahan Maju BATAN, Serpong dan Kepala P2ET LIPI, Bandung.

DAFTAR PUSTAKA

- [1] Y. J. An, K. Nishida, T. Yamamoto, S. Ueda, and T. Deguchi, "Characteristic evaluations of microwave absorbers using dielectric and magnetic composite materials," vol. 9, no. 4, pp. 430–436, 2008.
- [2] I. Subiyanto, "Universitas Indonesia Perhitungan Impedansi pada bahan La 0.67 Sr 0.33 Mn," 2011.
- H. Zhang, X. Yao, M. Wu, L. Zhang, [3] H. Zhang, X. Yao, M. Wu, and L. "Complex permittivity Zhang, andpermeability of Zn substituted Z type hexaferrite prepared by citrate sol – gel process Complex permittivity permeability of Zn - Co substituted Z type hexaferrite prepared by citrate sol – gel process," vol. 102, no. 1, pp. 9–15, 2016.
- [4] W. A. A. Sebayang, Perdamean, Muljadi, "Analisis Struktur Kristal SrO . 6Fe₂O₃ Menggunakan Program General Structure Analysis System Dan Pengujian Sifat Magnetnya," vol. 12, no. 3, pp. 55–62, 2011.
- [5] S. Sugiantoro and A. Adi, "Karakterisasi Termal Bahan Magnetik Sistem," vol. 3, no. 1411– 2213, pp. 3–6, 2012.
- [6] K. Zhou, H. Xia, K. Huang, L. Deng, D. Wang, Y. Zhou, and S. Gao, "The microwave absorption properties of La 0 . 8 Sr 0 . 2 Mn 1 À y Fe y O 3 nanocrystalline powders in the frequency range 2 18 GHz," vol. 404, no. 2, pp. 175–179, 2009.
- [7] P. Sardjono and W. A. Adi, "Structural, Magnetic and Electrical Properties of La 1-x Ba x MnO 3 (x = 0 0 . 7) for Absorber Electromagnetic Wave," vol. 3, no. 7, pp. 230–234, 2013.
- [8] B. H. Toby, "R Factors in Rietveld Analysis: How Good is Good

Enough," vol. 21, no. March 2006, pp. 67–70, 2014.

Intan Wandira dkk :Material Absorber Gelombang Elektromagnetik Berbasis (La_{0.8}Ba_{0.2})(Mn_{(1-x)/2}Zn_xFe_{(1-x)/2})O_3(x=0-0.6)